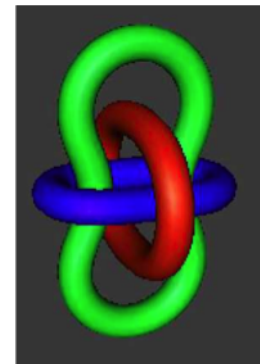
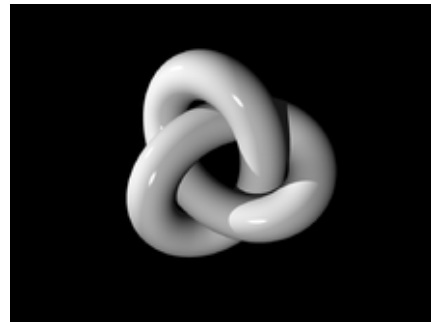


# NOEUDS, TRESSES ET ALGEBRES DE HECKE

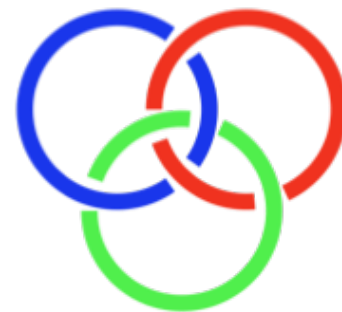
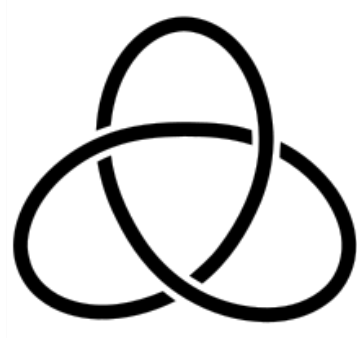
MARIA CHLOUVERAKI

Université de Versailles - St Quentin

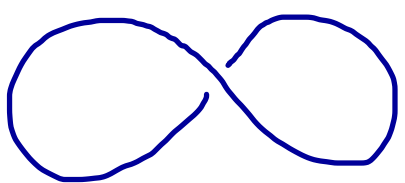
Un noeud (resp. un entrelac) est un plongement du cercle  $S^1$  (resp.  $n$  copies de  $S^1$ ) dans l'espace euclidien  $\mathbb{R}^3$ .



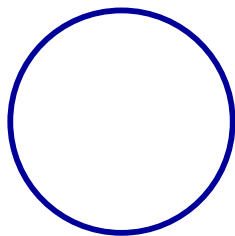
Tout noeud ou entrelac peut être représenté par un diagramme :



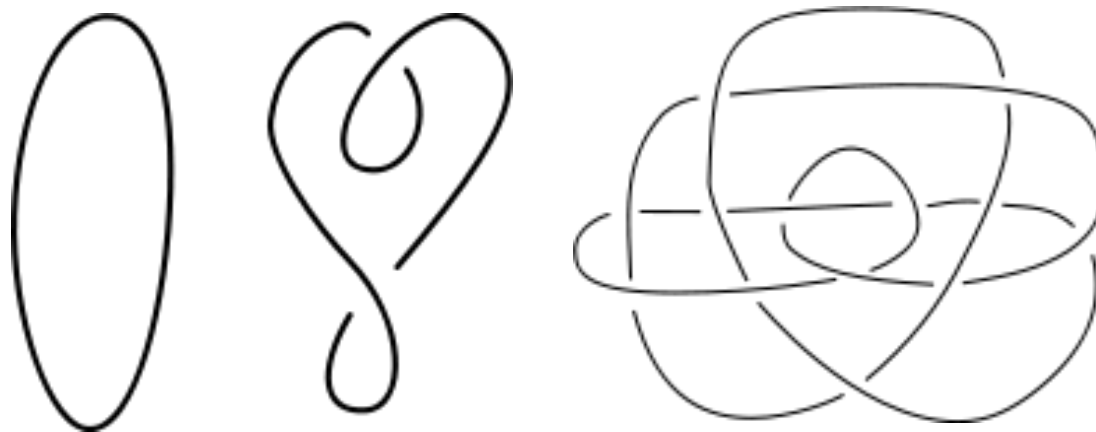
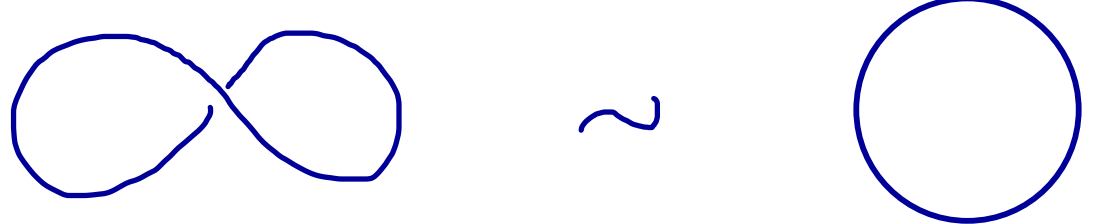
Deux noeuds (ou entrelacs) sont équivalents s'il existe une isotopie entre eux.



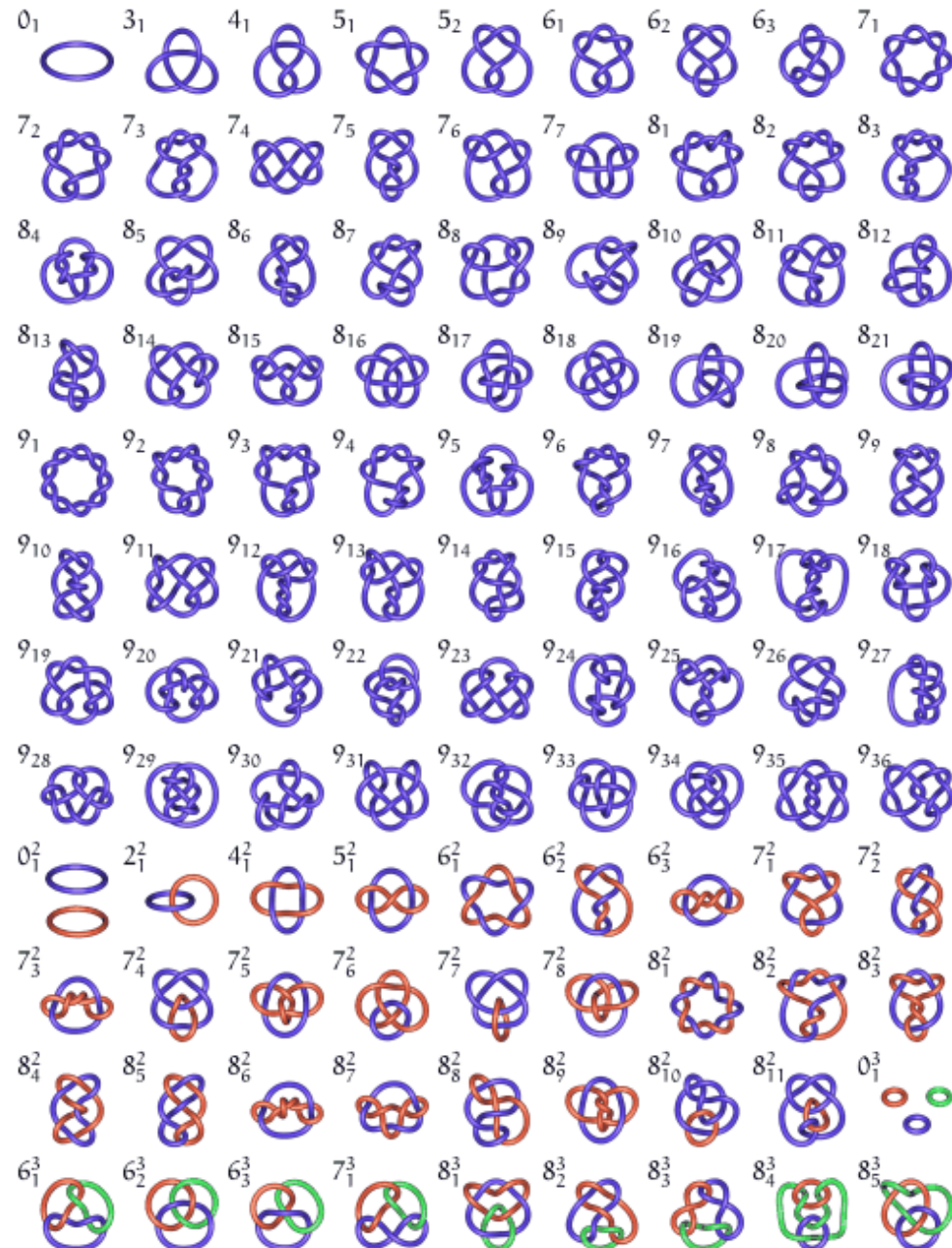
~



Deux noeuds (ou entrelacs) sont **équivalents** s'il existe une isotopie entre eux.



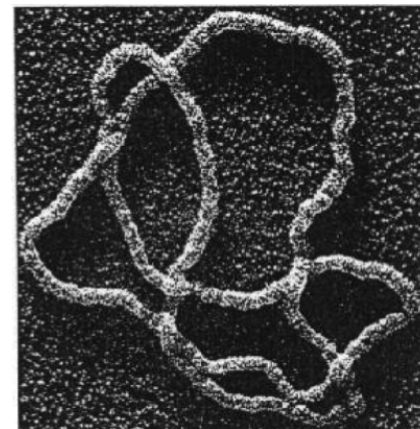
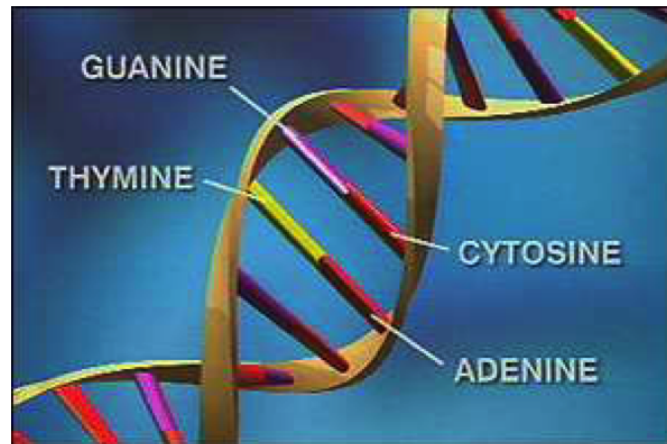
Q. Quand est-ce que 2 diagrammes représentent le même noeud?



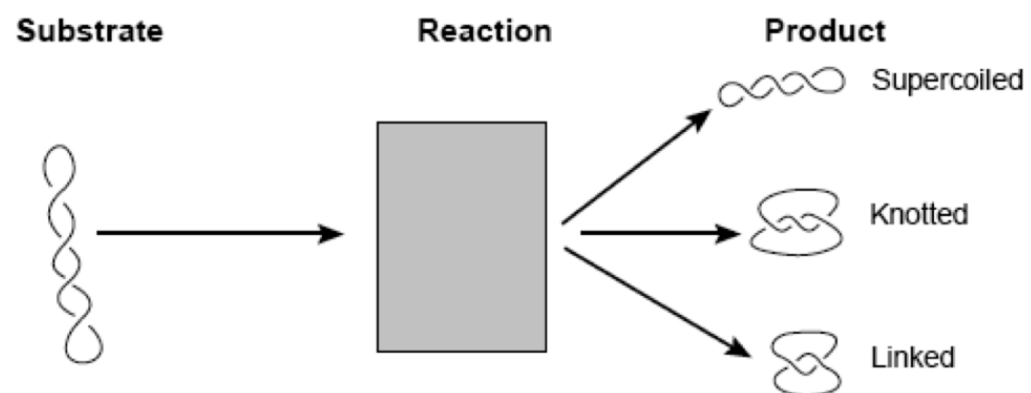
- Vandermonde (1735 - 1796) :  
Importance des noeuds
- Gauss (1777 - 1855) :  
Liste de 13 noeuds  
Enlacement
- Lord Kelvin (1824 - 1907) :  
"The atoms are knots in the aether"
- Tait (1839 - 1901) :  
Tableau des noeuds avec au plus 10 croisements - 20 ans de travail !
- Aujourd'hui , plus que 6.000.000.000 noeuds et entrelacs sont connus.

## Applications de la théorie des noeuds

### 1) ADN

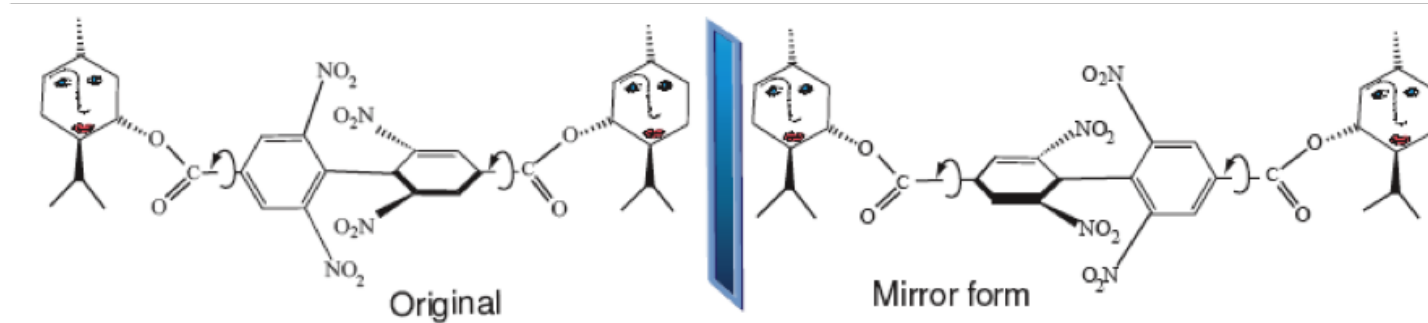
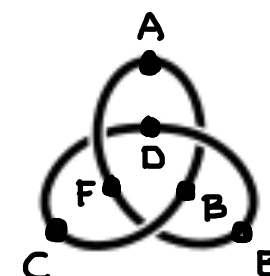
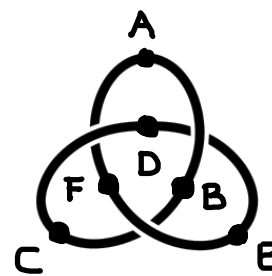
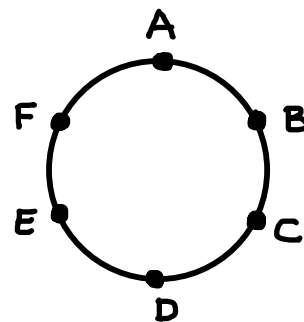


### Action des enzymes



## Applications de la théorie des noeuds

### 2) Chimie



# Applications de la théorie des noeuds

## 3) Polymères

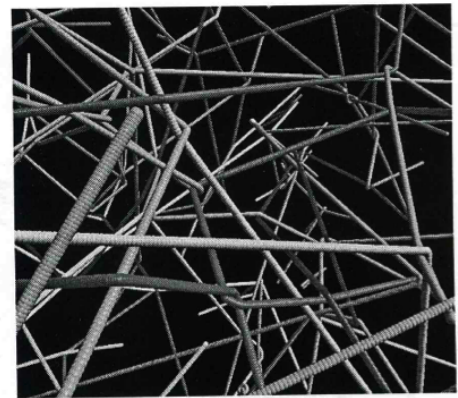
### Topological Analysis of Linear Polymer Melts

Christos Tzoumanekas\* and Doros N. Theodorou†

*Department of Materials Science and Engineering, School of Chemical Engineering,  
National Technical University of Athens, Zografou Campus, 15780 Athens, Greece and  
Dutch Polymer Institute (DPI), The Netherlands*

(Dated: 21st September 2005)

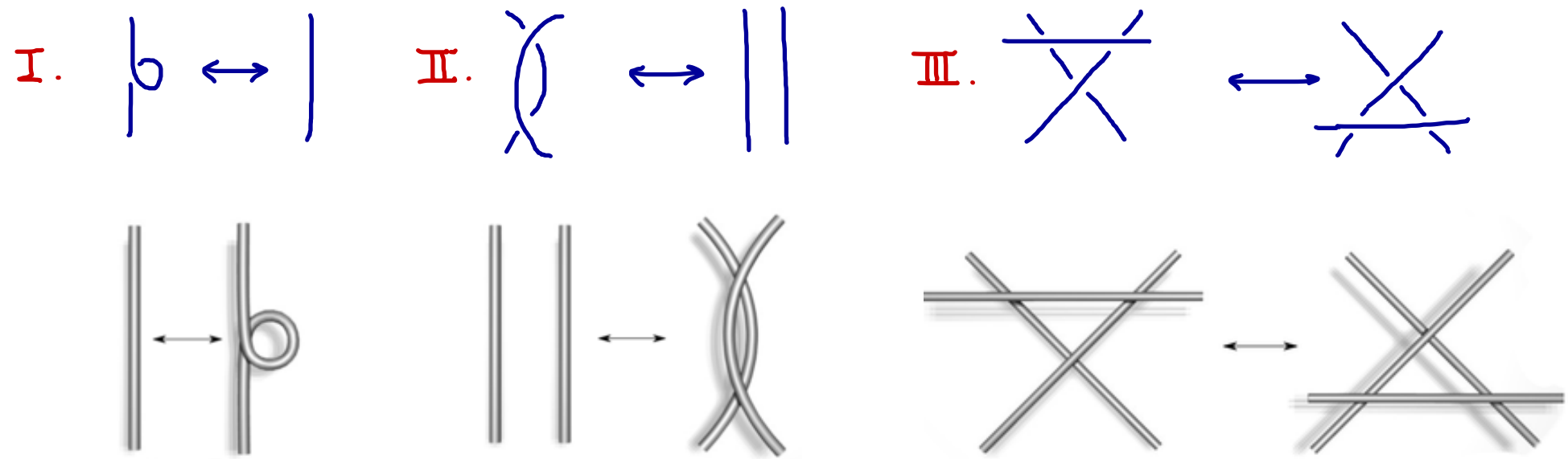
We introduce an algorithm for the reduction of computer generated atomistic polymer samples to networks of primitive paths. By examining network ensembles of Polyethylene and cis-1,4 Polybutadiene melts, we quantify the underlying topologies through the radial distribution function of entanglements and the distribution of the number of monomers between entanglements. A suitable scaling of acquired data leads to a unifying microscopic topological description of both melts.



## Applications de la théorie des noeuds

- 4) Mécanique statistique (e.g., Modèle de Potts)
- 5) Circuits électriques
- 6) Ordinateurs quantiques

Théorème (Reidemeister 1935) : Deux noeuds  $K_1, K_2$  sont équivalents si et seulement si le diagramme de  $K_2$  peut être obtenu du diagramme de  $K_1$  via un nombre fini de mouvements suivants :



Si  $K_1, K_2$  sont équivalents , nous écrivons  $K_1 \sim K_2$  .

$\mathcal{L}$  = ensemble des noeuds ou entrelacs

$S$  = un ensemble

Un invariant de noeuds est une fonction  $I : \mathcal{L} \rightarrow S$  telle que

$$k_1 \sim k_2 \implies I(k_1) = I(k_2)$$

pour  $k_1, k_2 \in \mathcal{L}$

$\mathcal{L}$  = ensemble des noeuds ou entrelacs

$S$  = un ensemble

Un invariant de noeuds est une fonction  $I : \mathcal{L} \rightarrow S$  telle que

$$K_1 \sim K_2 \implies I(K_1) = I(K_2)$$

pour  $K_1, K_2 \in \mathcal{L}$ , i.e.,

$$I(K_1) \neq I(K_2) \implies K_1 \not\sim K_2$$

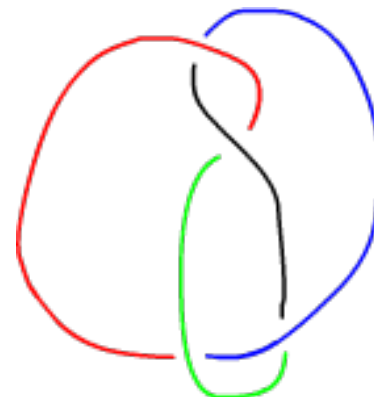
## Tricolorabilité ( $S = \{ V, F \}$ )

Un noeud est **tricolorable** si tout segment de son diagramme peut être coloré par une couleur parmi 3 , sous les conditions suivantes :

- au moins 2 couleurs doivent être utilisées,
- à chaque croisement , les 3 segments qui se rencontrent ont soit le même couleur soit les 3 couleurs différentes.

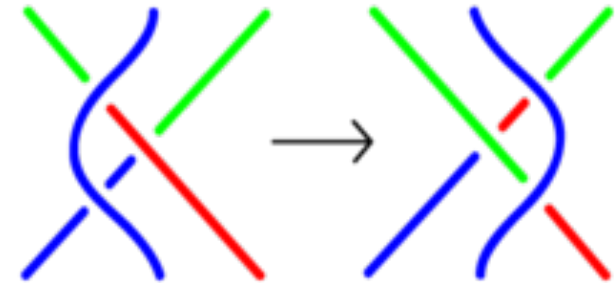
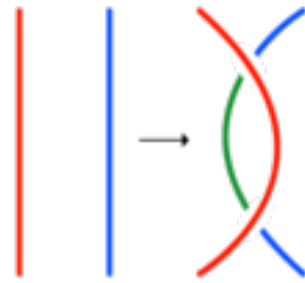
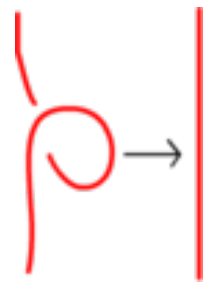


tricolorable (V)

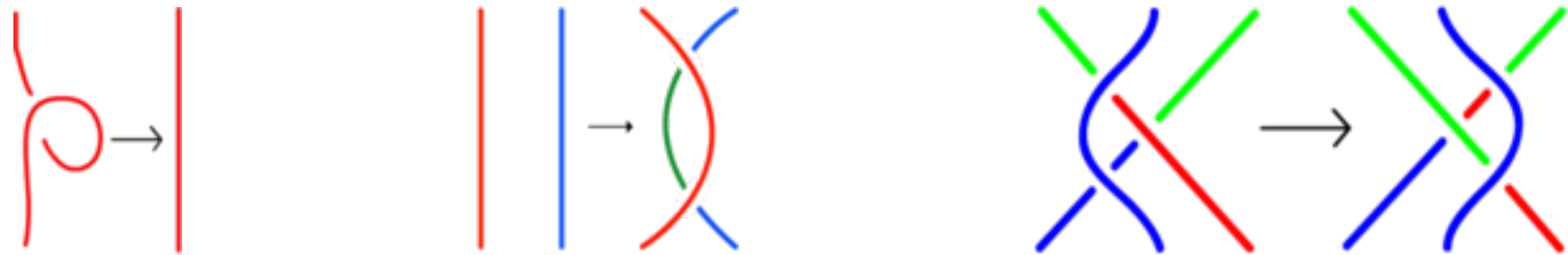


non - tricolorable (F)

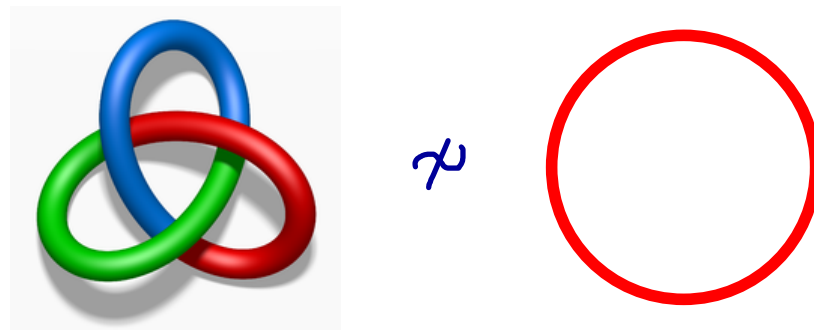
La tricolorabilité est un invariant de noeuds , parce qu'elle est respectée par les mouvements de Reidemeister.



La tricolorabilité est un invariant de noeuds , parce qu'elle est respectée par les mouvements de Reidemeister.

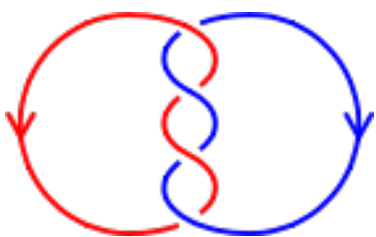


Exemple :

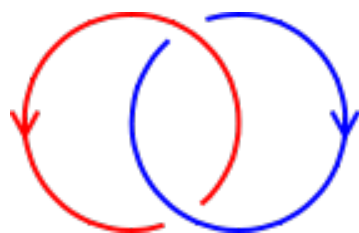


Enlacement

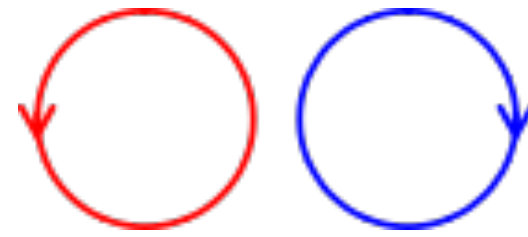
(  $S = \mathbb{Z}$  )



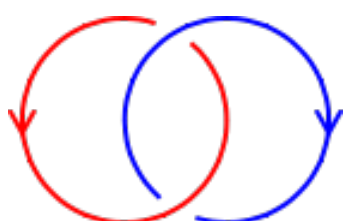
$$e = -2$$



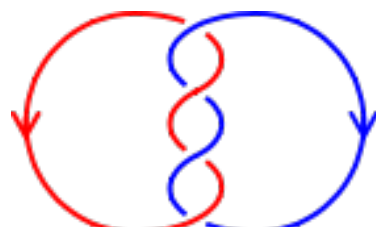
$$e = -1$$



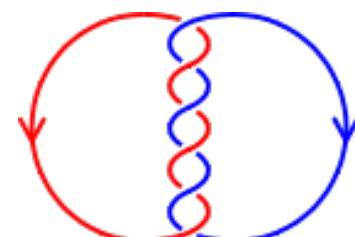
$$e = 0$$



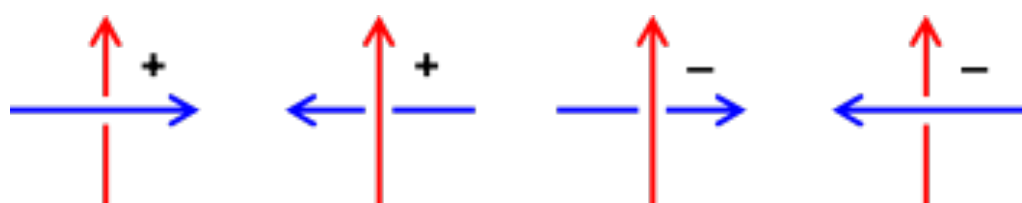
$$e = 1$$



$$e = 2$$



$$e = 3$$



$$e = \frac{n_1 + n_2 - n_3 - n_4}{2}$$

## Invariants polynomiaux ( $S = \mathbb{C}[x_1^{\pm 1}, x_2^{\pm 1}, \dots, x_r^{\pm 1}]$ )

- Polynôme de Alexander (1927)
- Polynôme de Alexander-Conway (1969)



- Polynôme de Jones (1984)



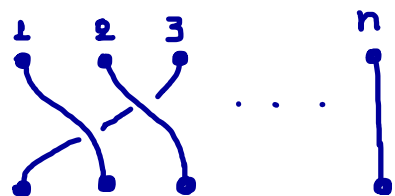
- Polynôme de HOMFLY-PT  
(Hoste-Ocneanu-Millet-Freyd-Lickorish-Yetter, 1985 /  
Przytycki-Traczyk, 1987)

## Groupe de tresses

$$B_n = \left\langle \sigma_1, \dots, \sigma_{n-1} \mid \begin{array}{l} \sigma_i \sigma_{i+1} \sigma_i = \sigma_{i+1} \sigma_i \sigma_{i+1} \quad i = 1, \dots, n-2 \\ \sigma_i \sigma_j = \sigma_j \sigma_i \quad \text{if } |i-j| > 1 \end{array} \right\rangle$$

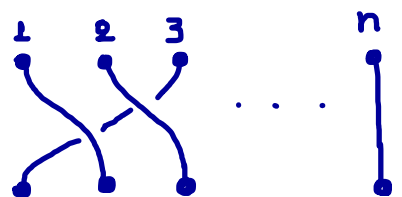
## Groupe de tresses

$$B_n = \left\langle \sigma_1, \dots, \sigma_{n-1} \mid \begin{array}{l} \sigma_i \sigma_{i+1} \sigma_i = \sigma_{i+1} \sigma_i \sigma_{i+1} \\ \sigma_i \sigma_j = \sigma_j \sigma_i \end{array} \quad \begin{array}{l} i = 1, \dots, n-2 \\ \text{if } |i-j| > 1 \end{array} \right\rangle$$



## Groupe de tresses

$$B_n = \left\langle \sigma_1, \dots, \sigma_{n-1} \mid \begin{array}{l} \sigma_i \sigma_{i+1} \sigma_i = \sigma_{i+1} \sigma_i \sigma_{i+1} \\ \sigma_i \sigma_j = \sigma_j \sigma_i \end{array} \quad i=1, \dots, n-2 \right. \\ \left. \text{if } |i-j| > 1 \right\rangle$$



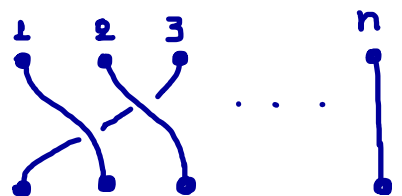
$$Id = \begin{array}{c} 1 \\ \vdash \\ 1 \end{array} \quad \dots \quad \begin{array}{c} n \\ \vdash \\ n \end{array}$$

$$\sigma_i = \begin{array}{c} 1 \\ \vdash \\ 1 \end{array} \quad \dots \quad \begin{array}{c} i \\ \text{---} \\ i \end{array} \quad \begin{array}{c} i+1 \\ \text{---} \\ i+1 \end{array} \quad \dots \quad \begin{array}{c} n \\ \vdash \\ n \end{array}$$

$$\sigma_i^{-1} = \begin{array}{c} 1 \\ \vdash \\ 1 \end{array} \quad \dots \quad \begin{array}{c} i \\ i \\ \text{---} \\ i \\ i+1 \\ \text{---} \\ i+1 \end{array} \quad \dots \quad \begin{array}{c} n \\ \vdash \\ n \end{array}$$

## Groupe de tresses

$$B_n = \left\langle \sigma_1, \dots, \sigma_{n-1} \mid \begin{array}{l} \sigma_i \sigma_{i+1} \sigma_i = \sigma_{i+1} \sigma_i \sigma_{i+1} \\ \sigma_i \sigma_j = \sigma_j \sigma_i \end{array} \quad i = 1, \dots, n-2 \right. \\ \left. \text{if } |i-j| > 1 \right\rangle$$

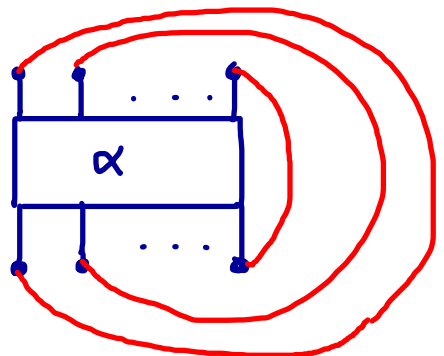


$$Id = \begin{array}{c} 1 \\ \vdots \\ n \end{array} \quad \sigma_i = \begin{array}{c} 1 \\ \vdots \\ i-1 \\ i \\ i+1 \\ \vdots \\ n \end{array} \quad \sigma_i^{-1} = \begin{array}{c} 1 \\ \vdots \\ i-1 \\ i+1 \\ i \\ \vdots \\ n \end{array}$$

Multiplication : concaténation de diagrammes

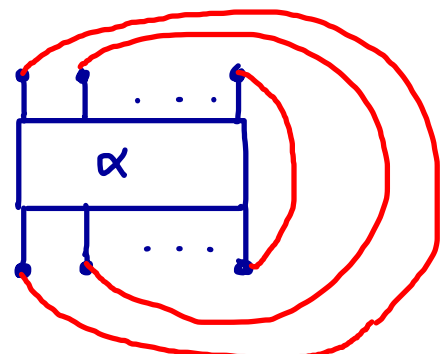
E.g.  $\alpha = \sigma_1 =$    
 $\beta = \sigma_2 =$    
 $\Rightarrow \alpha \beta = \sigma_1 \sigma_2 =$

Tout élément de  $B_n$  produit un noeud ou un entrelac :



$= : \hat{\alpha} = \text{clôture de } \alpha$

Tout élément de  $B_n$  produit un noeud ou un entrelac :



$= : \hat{\alpha} = \text{clôture de } \alpha$

E.g.  $\alpha =$   $\hat{\alpha} =$

$\alpha =$   $\hat{\alpha} =$

$\alpha = \sigma_1 =$   $\hat{\alpha} =$   $\sim$

$\alpha = \sigma_1^2 =$   $\hat{\alpha} =$   $\sim$

$\alpha = \sigma_1^3$        $\hat{\alpha} = \text{trèfle à gauche}$

## Théorème d'Alexander (1923)

Tout noeud ou entrelac peut être obtenu comme la clôture d'une tresse  $\alpha \in \bigsqcup_{n \geq 1} B_n$

## Théorème d'Alexander (1923)

Tout noeud ou entrelac peut être obtenu comme la clôture d'une tresse  $\alpha \in \bigsqcup_{n \geq 1} B_n$

Définissons une relation d'équivalence sur  $\bigsqcup_{n \geq 1} B_n$

comme la clôture transitive des relations :

(i)  $\alpha\beta \sim \beta\alpha$ ,  $\alpha, \beta \in B_n$  (conjugaison)

(ii)  $\alpha \sim \alpha\sigma_n^{\pm 1}$ ,  $\alpha \in B_n$  (mouvement de Markov)

## Théorème d'Alexander (1923)

Tout noeud ou entrelac peut être obtenu comme la clôture d'une tresse  $\alpha \in \bigsqcup_{n \geq 1} B_n$

Définissons une relation d'équivalence sur  $\bigsqcup_{n \geq 1} B_n$

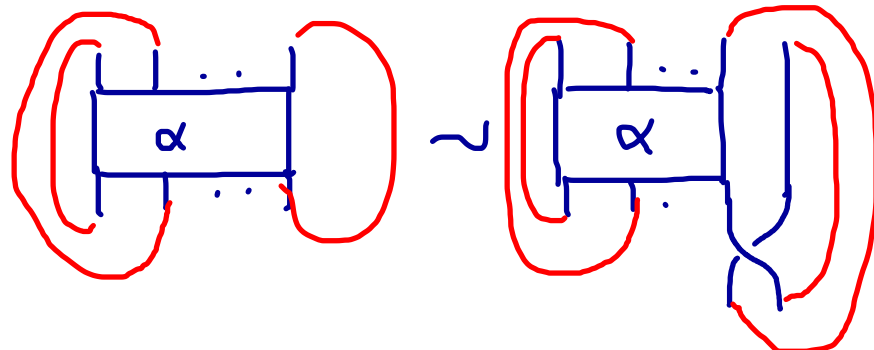
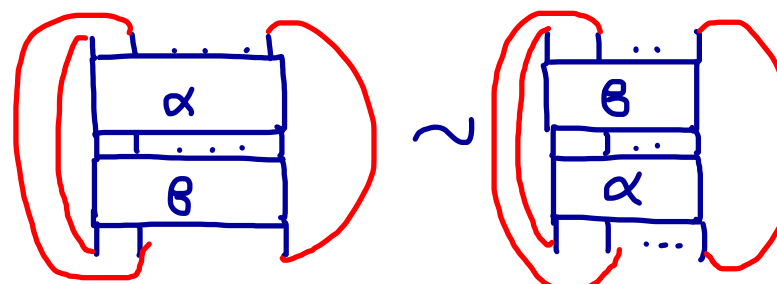
comme la clôture transitive des relations :

(i)  $\alpha\beta \sim \beta\alpha$ ,  $\alpha, \beta \in B_n$  (conjugaison)

(ii)  $\alpha \sim \alpha\sigma_n^{\pm 1}$ ,  $\alpha \in B_n$  (mouvement de Markov)

## Théorème de Markov (1935)

Nous avons  $\hat{\alpha} \sim \hat{\beta}$  si et seulement si  $\alpha \sim \beta$ .



## Algèbre de Iwahori-Hecke de type A

$$q \in \mathbb{C}^*$$

$$\mathfrak{H}_n(q) = \left\{ G_1, \dots, G_{n-1} \right\} \quad \begin{array}{l} G_i G_{i+1} G_i = G_{i+1} G_i G_{i+1} \\ G_i G_j = G_j G_i \quad \text{if} \quad |i-j| > 1 \\ G_i^q = (q - 1) G_i + q \end{array}$$

## Algèbre de Iwahori-Hecke de type A

$$q \in \mathbb{C}^*$$

$$\mathfrak{H}_n(q) = \left\{ G_1, \dots, G_{n-1} \middle| \begin{array}{l} G_i G_{i+1} G_i = G_{i+1} G_i G_{i+1} \\ G_i G_j = G_j G_i \quad \text{if } |i-j| > 1 \\ G_i^q = (q - 1) G_i + q \end{array} \right\}$$

- $\mathfrak{H}_n(q)$  est un quotient de  $\mathbb{C}[B_n]$

## Algèbre de Iwahori-Hecke de type A

$$q \in \mathbb{C}^*$$

$$\mathfrak{H}_n(q) = \left\{ G_1, \dots, G_{n-1} \middle| \begin{array}{l} G_i G_{i+1} G_i = G_{i+1} G_i G_{i+1} \\ G_i G_j = G_j G_i \quad \text{if } |i-j| > 1 \\ G_i^q = (q-1) G_i + q \end{array} \right\}$$

- $\mathfrak{H}_n(q)$  est un quotient de  $\mathbb{C}[B_n]$
- $q = 1$  :  $\mathfrak{H}_n(1) \cong \mathbb{C}[S_n]$

## Algèbre de Iwahori-Hecke de type A

$$q \in \mathbb{C}^*$$

$$\mathfrak{H}_n(q) = \left\{ G_1, \dots, G_{n-1} \middle| \begin{array}{l} G_i G_{i+1} G_i = G_{i+1} G_i G_{i+1} \\ G_i G_j = G_j G_i \text{ if } |i-j| > 1 \\ G_i^q = (q-1) G_i + q \end{array} \right\}$$

- $\mathfrak{H}_n(q)$  est un quotient de  $\mathbb{C}[B_n]$
- $q = 1$  :  $\mathfrak{H}_n(1) \cong \mathbb{C}[S_n]$
- $\mathfrak{H}_n(q)$  est un  $\mathbb{C}$ -module libre de rang  $n! = |S_n|$

## Algèbre de Iwahori-Hecke de type A

$$q \in \mathbb{C}^*$$

$$\mathfrak{H}_n(q) = \left\{ G_1, \dots, G_{n-1} \middle| \begin{array}{l} G_i G_{i+1} G_i = G_{i+1} G_i G_{i+1} \\ G_i G_j = G_j G_i \quad \text{if } |i-j| > 1 \\ G_i^q = (q-1) G_i + q \end{array} \right\}$$

- $\mathfrak{H}_n(q)$  est un quotient de  $\mathbb{C}[B_n]$
- $q = 1$  :  $\mathfrak{H}_n(1) \cong \mathbb{C}[S_n]$
- $\mathfrak{H}_n(q)$  est un  $\mathbb{C}$ -module libre de rang  $n! = |S_n|$
- $G_i^{-1} = q^{-1} G_i + (q^{-1}-1) \quad \forall i=1, \dots, n-1$

## Algèbre de Iwahori-Hecke de type A

$$q \in \mathbb{C}^*$$

$$\mathfrak{H}_n(q) = \left\{ G_1, \dots, G_{n-1} \middle| \begin{array}{l} G_i G_{i+1} G_i = G_{i+1} G_i G_{i+1} \\ G_i G_j = G_j G_i \text{ if } |i-j| > 1 \\ G_i^q = (q-1) G_i + q \end{array} \right\}$$

- $\mathfrak{H}_n(q)$  est un quotient de  $\mathbb{C}[B_n]$
- $q = 1$  :  $\mathfrak{H}_n(1) \cong \mathbb{C}[S_n]$
- $\mathfrak{H}_n(q)$  est un  $\mathbb{C}$ -module libre de rang  $n! = |S_n|$
- $G_i^{-1} = q^{-1} G_i + (q^{-1}-1) \quad \forall i=1, \dots, n-1$

$$\mathbb{C} = \mathfrak{H}_1(q) \subset \mathfrak{H}_2(q) \subset \dots \subset \mathfrak{H}_n(q) \subset \mathfrak{H}_{n+1}(q) \subset \dots$$

### Théorème ( Jones - Ocneanu 1987)

Soit  $\zeta \in \mathbb{C}$ . Il existe une unique application linéaire  $\tau = (\tau_n)_{n \in \mathbb{N}}$ ,  
 $\tau_n : \mathcal{H}_n(q) \longrightarrow \mathbb{C}$ , telle que

- $\tau_n(1) = 1$
- $\tau_n(ab) = \tau_n(ba) \quad \forall a, b \in \mathcal{H}_n(q)$
- $\tau_n(\alpha G_{n-1}) = \zeta \tau_{n-1}(\alpha) \quad \forall \alpha \in \mathcal{H}_{n-1}(q)$

.

## Théorème ( Jones - Ocneanu 1987)

Soit  $\zeta \in \mathbb{C}$ . Il existe une unique application linéaire  $\tau = (\tau_n)_{n \in \mathbb{N}}$ ,  
 $\tau_n : \mathcal{H}_n(q) \longrightarrow \mathbb{C}$ , telle que

- $\tau_n(1) = 1$
- $\tau_n(ab) = \tau_n(ba) \quad \forall a, b \in \mathcal{H}_n(q)$
- $\tau_n(aG_{n-1}) = \zeta \tau_{n-1}(a) \quad \forall a \in \mathcal{H}_{n-1}(q)$

.

$$\begin{array}{ccccccc} B_n & \hookrightarrow & \mathbb{C}[B_n] & \longrightarrow & \mathcal{H}_n(q) & \xrightarrow{\tau} & \mathbb{C} \\ \sigma_i & \longmapsto & \sigma_i & \longmapsto & G_i & & \end{array}$$

## Polynôme de HOMFLYPT (normalisation de la trace $\tau$ )

$\beta \neq 0$ ,  $\beta \neq q^{-1}$

## Polynôme de HOMFLYPT (normalisation de la trace $\tau$ )

$\zeta \neq 0$ ,  $\zeta \neq q^{-1}$

$$\alpha \in B_n \quad \alpha = \prod \sigma_i^{r_i} \quad \exp(\alpha) := \sum r_i$$

E.g.  $\alpha = \sigma_1 \sigma_2 \sigma_1^{-3} \in B_3 \quad \exp(\alpha) = -1$

## Polynôme de HOMFLYPT (normalisation de la trace $\tau$ )

$\beta \neq 0$ ,  $\beta \neq q^{-1}$

$$\alpha \in B_n \quad \alpha = \prod \sigma_i^{r_i} \quad \exp(\alpha) := \sum r_i$$

E.g.  $\alpha = \sigma_1 \sigma_2 \sigma_1^{-3} \in B_3 \quad \exp(\alpha) = -1$

Nous avons  $\exp(\alpha\beta) = \exp(\beta\alpha) \quad \forall \alpha, \beta \in B_n$

## Polynôme de HOMFLYPT (normalisation de la trace $\tau$ )

$\beta \neq 0$ ,  $\beta \neq q^{-1}$

$$\alpha \in B_n \quad \alpha = \prod \sigma_i^{r_i} \quad \exp(\alpha) := \sum r_i$$

E.g.  $\alpha = \sigma_1 \sigma_2 \sigma_1^{-3} \in B_3 \quad \exp(\alpha) = -1$

Nous avons  $\exp(\alpha\beta) = \exp(\beta\alpha) \quad \forall \alpha, \beta \in B_n$

$$P(\alpha) := D^{n-1} \cdot \lambda^{\exp(\alpha)} \cdot \tau(\alpha)$$

## Polynôme de HOMFLYPT (normalisation de la trace $\tau$ )

$\zeta \neq 0$ ,  $\zeta \neq q^{-1}$

$$\alpha \in B_n \quad \alpha = \prod \sigma_i^{r_i} \quad \exp(\alpha) := \sum r_i$$

E.g.  $\alpha = \sigma_1 \sigma_2 \sigma_1^{-3} \in B_3 \quad \exp(\alpha) = -1$

Nous avons  $\exp(\alpha\beta) = \exp(\beta\alpha) \quad \forall \alpha, \beta \in B_n$

$$P(\alpha) := D^{n-1} \cdot \lambda^{\exp(\alpha)} \cdot \tau(\alpha)$$

$$\begin{aligned} P(\alpha) &= P(\alpha\sigma_n) \Rightarrow D^{n-1} \cdot \lambda^{\exp(\alpha)} \tau(\alpha) = D^n \lambda^{\exp(\alpha)+1} \frac{\tau(\alpha\sigma_n)}{\zeta \cdot \tau(\alpha)} \\ &\Rightarrow D = 1 / \lambda \zeta \end{aligned}$$

$$P(\alpha \sigma_n) = P(\alpha \sigma_n^{-1}) \Rightarrow \dots \Rightarrow$$

$$\lambda = \sqrt{\frac{3 + (1-q)}{3q}}$$

en utilisant que  $g_n^{-1} = q^{-1} g_n + (q^{-1} - 1)$ .

$$P(\alpha \sigma_n) = P(\alpha \sigma_n^{-1}) \Rightarrow \dots \Rightarrow$$

$$\lambda = \sqrt{\frac{3 + (1-q)}{3q}}$$

en utilisant que  $g_n^{-1} = q^{-1} g_n + (q^{-1} - 1)$ .

$$\hat{P}(\hat{\alpha}) := P(\alpha) = D^{n-1} \cdot \lambda^{\exp(\alpha)} \cdot \tau(\alpha) \quad \forall \alpha \in B_n$$

$\hat{P} : \mathcal{L} \rightarrow \mathbb{C}$  est un invariant de noeuds

HOMFLYPT (ou polynôme de Jones à 2 variables)

## Groupe de tresses à poids

Soit  $d \in \mathbb{Z}_{>0}$

$$\begin{array}{c} (\mathbb{Z}/d\mathbb{Z})^l \times B_n \\ \parallel \\ (\mathbb{Z}/d\mathbb{Z})^n \times B_n \end{array} = \left\langle \sigma_1, \dots, \sigma_{n-1}, t_1, \dots, t_n \right| \begin{array}{l} \sigma_i \text{ comme avant} \\ t_j^d = 1 \quad j=1, \dots, n \\ t_i t_j = t_j t_i \quad i, j=1, \dots, n \\ t_j \sigma_i = \sigma_i t_{s_i(j)} \end{array}$$

où  $s_i = (i, i+1) \in S_n$

## Groupe de tresses à poids

Soit  $d \in \mathbb{Z}_{>0}$

$$\begin{array}{c} (\mathbb{Z}/d\mathbb{Z})^l \wr B_n \\ \parallel \\ (\mathbb{Z}/d\mathbb{Z})^n \times B_n \end{array} = \left\langle \sigma_1, \dots, \sigma_{n-1}, t_1, \dots, t_n \right| \begin{array}{l} \sigma_i \text{ comme avant} \\ t_j^d = 1 \quad j=1, \dots, n \\ t_i t_j = t_j t_i \quad i, j=1, \dots, n \\ t_j \sigma_i = \sigma_i t_{s_i(j)} \end{array}$$

où  $s_i = (i, i+1) \in S_n$

E.g.  $a, b \in \{0, 1, \dots, d-1\}$ ,  $n=2$

$$t_1^a t_2^b = \begin{array}{c} a \\ \bullet \\ \text{---} \\ b \\ \bullet \end{array}$$

$$t_1^a t_2^b \sigma_1 = \begin{array}{c} a \\ \bullet \\ \diagup \quad \diagdown \\ b \\ \bullet \end{array}$$

$$t_1^a t_2^b \sigma_1^2 = \begin{array}{c} a \\ \bullet \\ \diagup \quad \diagdown \\ b \\ \bullet \\ \diagup \quad \diagdown \\ a \\ \bullet \end{array}$$

## Groupe de tresses à poids

Soit  $d \in \mathbb{Z}_{>0}$

$$\begin{array}{c} (\mathbb{Z}/d\mathbb{Z})^l \times B_n \\ \parallel \\ (\mathbb{Z}/d\mathbb{Z})^n \times B_n \end{array} = \left\langle \sigma_1, \dots, \sigma_{n-1}, t_1, \dots, t_n \right\rangle \quad \left| \begin{array}{l} \sigma_i \text{ comme avant} \\ t_j^d = 1 \quad j=1, \dots, n \\ t_i t_j = t_j t_i \quad i, j=1, \dots, n \\ t_j \sigma_i = \sigma_i t_{s_i(j)} \end{array} \right.$$

où  $s_i = (i, i+1) \in S_n$

E.g.  $a, b \in \{0, 1, \dots, d-1\}$ ,  $n=2$

$$t_1^a t_2^b = \begin{array}{c} a \\ \bullet \\ \text{---} \\ b \\ \bullet \end{array}$$

$$t_1^a t_2^b \sigma_1 = \begin{array}{c} a \\ \bullet \\ \diagup \quad \diagdown \\ b \\ \bullet \end{array}$$

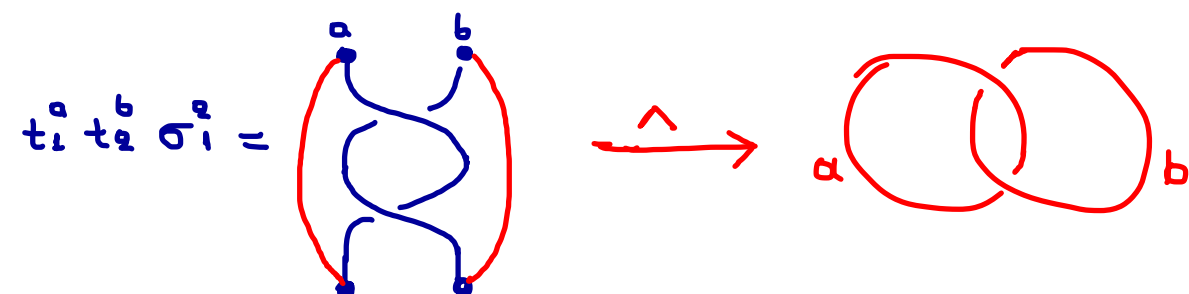
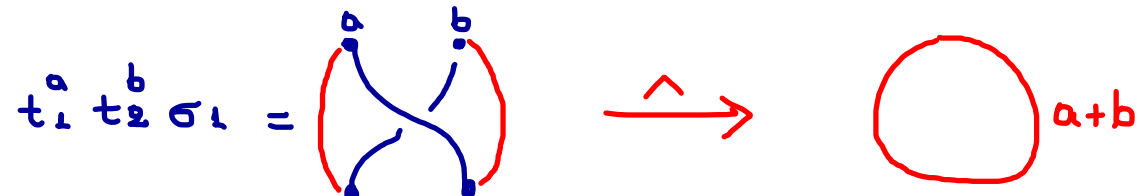
$$t_1^a t_2^b \sigma_1^2 = \begin{array}{c} a \\ \bullet \\ \diagup \quad \diagdown \\ b \\ \bullet \end{array}$$

Multiplication : concaténation de diagrammes

$$\text{E.g. } (t_1^a t_2^b \sigma_1) \cdot (t_1^{a'} t_2^{b'}) = t_1^{a+b'} t_2^{b+a'} \sigma_1$$

Tout élément de  $(\mathbb{Z}/d\mathbb{Z})^l B_n$  produit un noeud ou un entrelac à poids

E.g.  $a, b \in \{0, 1, \dots, d-1\}$ ,  $n=2$



Tout élément de  $(\mathbb{Z}/d\mathbb{Z})^l B_n$  produit un noeud ou un entrelac à poids

E.g.  $a, b \in \{0, 1, \dots, d-1\}$ ,  $n=2$

$$t_1^a t_2^b \sigma_1 = \text{Diagram} \rightarrow \text{Circle labeled } a+b$$

$$t_1^a t_2^b \sigma_1^2 = \text{Diagram} \rightarrow \text{Two circles labeled } a \text{ and } b$$

$$d=3 : \quad \overbrace{t_1 t_2 \sigma_1} \sim \overbrace{t_1^2 \sigma_1}, \quad \overbrace{t_1 t_2 \sigma_1^2} \not\sim \overbrace{t_1^2 \sigma_1^2}$$

Tout élément de  $(\mathbb{Z}/d\mathbb{Z})^l B_n$  produit un noeud ou un entrelac à poids

E.g.  $a, b \in \{0, 1, \dots, d-1\}$ ,  $n=2$

$$t_1^a t_2^b \sigma_1 = \text{Diagram} \rightarrow \text{Circle labeled } a+b$$

$$t_1^a t_2^b \sigma_1^2 = \text{Diagram} \rightarrow \text{Two circles labeled } a \text{ and } b$$

$$d=3 : \quad \overbrace{t_1 t_2 \sigma_1} \sim \overbrace{t_1^2 \sigma_1}, \quad \overbrace{t_1 t_2 \sigma_1^2} \not\sim \overbrace{t_1^2 \sigma_1^2}$$

Théorème d'Alexander : évident

Théorème de Markov : Ko - Smolinsky 1992

## Algèbre de Yokonuma - Hecke de type A

$$q \in \mathbb{C}^*$$

$$Y_{d,n}(q) = \left\langle \begin{array}{l} g_1, \dots, g_{n-1} \\ t_1, \dots, t_n \end{array} \mid \begin{array}{l} g_i g_{i+1} g_i = g_{i+1} g_i g_{i+1}, \quad g_i g_j = g_j g_i \quad \text{if} \quad |i-j| > 1 \\ t_j^d = 1, \quad t_i t_j = t_j t_i, \quad t_j g_i = g_i t_{s(i)} \\ g_i^2 = (q_i - 1) e_i g_i + q_i \end{array} \right\rangle$$

où  $e_i := \frac{1}{d} \sum_{s=0}^{d-1} t_i^s t_{i+1}^{d-s}$  est un idempotent.

## Algèbre de Yokonuma - Hecke de type A

$$q \in \mathbb{C}^*$$

$$Y_{d,n}(q) = \left\langle \begin{array}{l} g_0, \dots, g_{n-1} \\ t_0, \dots, t_n \end{array} \mid \begin{array}{l} g_i g_{i+1} g_i = g_{i+1} g_i g_{i+1}, \quad g_i g_j = g_j g_i \quad \text{if} \quad |i-j| > 1 \\ t_j^d = 1, \quad t_i t_j = t_j t_i, \quad t_j g_i = g_i t_{s(i)} \\ g_i^2 = (q-1) e_i g_i + q \end{array} \right\rangle$$

où  $e_i := \frac{1}{d} \sum_{s=0}^{d-1} t_i^s t_{i+s}^{d-s}$  est un idempotent.

- $Y_{d,n}(q)$  est un quotient de  $\mathbb{C}[(\mathbb{Z}/d\mathbb{Z}) \wr B_n]$

## Algèbre de Yokonuma - Hecke de type A

$$q \in \mathbb{C}^*$$

$$Y_{d,n}(q) = \left\langle \begin{array}{l} g_1, \dots, g_{n-1} \\ t_1, \dots, t_n \end{array} \mid \begin{array}{l} g_i g_{i+1} g_i = g_{i+1} g_i g_{i+1}, \quad g_i g_j = g_j g_i \quad \text{if} \quad |i-j| > 1 \\ t_j^d = 1, \quad t_i t_j = t_j t_i, \quad t_j g_i = g_i t_{s(i)} \\ g_i^2 = (q-1) e_i g_i + q \end{array} \right\rangle$$

où  $e_i := \frac{1}{d} \sum_{s=0}^{d-1} t_i^s t_{i+1}^{d-s}$  est un idempotent.

- $Y_{d,n}(q)$  est un quotient de  $\mathbb{C}[(\mathbb{Z}/d\mathbb{Z}) \wr B_n]$
- $q = 1$  :  $Y_{d,n}(1) \cong \mathbb{C}[G(d,1,n)]$ , où  $G(d,1,n) = (\mathbb{Z}/d\mathbb{Z}) \wr S_n$

## Algèbre de Yokonuma - Hecke de type A

$$q \in \mathbb{C}^*$$

$$Y_{d,n}(q) = \left\langle \begin{array}{l} g_1, \dots, g_{n-1} \\ t_1, \dots, t_n \end{array} \mid \begin{array}{l} g_i g_{i+1} g_i = g_{i+1} g_i g_{i+1}, \quad g_i g_j = g_j g_i \quad \text{if} \quad |i-j| > 1 \\ t_j^d = 1, \quad t_i t_j = t_j t_i, \quad t_j g_i = g_i t_{s(i)} \\ g_i^2 = (q-1) e_i g_i + q \end{array} \right\rangle$$

où  $e_i := \frac{1}{d} \sum_{s=0}^{d-1} t_i^s t_{i+s}^{d-s}$  est un idempotent.

- $Y_{d,n}(q)$  est un quotient de  $\mathbb{C}[(\mathbb{Z}/d\mathbb{Z}) \wr B_n]$
- $q = 1$  :  $Y_{d,n}(1) \cong \mathbb{C}[G(d,1,n)]$ , où  $G(d,1,n) = (\mathbb{Z}/d\mathbb{Z}) \wr S_n$
- $d = 1$  :  $Y_{1,n}(q) \cong \mathcal{H}_n(q)$

## Algèbre de Yokonuma - Hecke de type A

$$q \in \mathbb{C}^*$$

$$Y_{d,n}(q) = \left\langle \begin{array}{l} g_1, \dots, g_{n-1} \\ t_1, \dots, t_n \end{array} \mid \begin{array}{l} g_i g_{i+1} g_i = g_{i+1} g_i g_{i+1}, \quad g_i g_j = g_j g_i \quad \text{if} \quad |i-j| > 1 \\ t_j^d = 1, \quad t_i t_j = t_j t_i, \quad t_j g_i = g_i t_{s(i)} \\ g_i^2 = (q-1) e_i g_i + q \end{array} \right\rangle$$

où  $e_i := \frac{1}{d} \sum_{s=0}^{d-1} t_i^s t_{i+1}^{d-s}$  est un idempotent.

- $Y_{d,n}(q)$  est un quotient de  $\mathbb{C}[(\mathbb{Z}/d\mathbb{Z}) \wr B_n]$
- $q = 1$  :  $Y_{d,n}(1) \cong \mathbb{C}[G(d,1,n)]$ , où  $G(d,1,n) = (\mathbb{Z}/d\mathbb{Z}) \wr S_n$
- $d = 1$  :  $Y_{1,n}(q) \cong \mathcal{H}_n(q)$
- $\mathcal{H}_n(q)$  est un quotient de  $Y_{d,n}(q)$  ( $t_j \mapsto 1$ )

## Algèbre de Yokonuma - Hecke de type A

$q \in \mathbb{C}^\times$

$$Y_{d,n}(q) = \left\langle \begin{array}{l} g_1, \dots, g_{n-1} \\ t_1, \dots, t_n \end{array} \mid \begin{array}{l} g_i g_{i+1} g_i = g_{i+1} g_i g_{i+1}, \quad g_i g_j = g_j g_i \quad \text{if} \quad |i-j| > 1 \\ t_j^d = 1, \quad t_i t_j = t_j t_i, \quad t_j g_i = g_i t_{s(i)} \\ g_i^2 = (q-1) e_i g_i + q \end{array} \right\rangle$$

où  $e_i := \frac{1}{d} \sum_{s=0}^{d-1} t_i^s t_{i+s}^{d-s}$  est un idempotent.

- $Y_{d,n}(q)$  est un quotient de  $\mathbb{C}[(\mathbb{Z}/d\mathbb{Z}) \wr B_n]$
- $q = 1$  :  $Y_{d,n}(1) \cong \mathbb{C}[G(d,1,n)]$ , où  $G(d,1,n) = (\mathbb{Z}/d\mathbb{Z}) \wr S_n$
- $d = 1$  :  $Y_{1,n}(q) \cong \mathcal{H}_n(q)$
- $\mathcal{H}_n(q)$  est un quotient de  $Y_{d,n}(q)$  ( $t_j \mapsto 1$ )
- $Y_{d,n}(q)$  est un  $\mathbb{C}$ -module libre de rang  $d^n \cdot n! = |G(d,1,n)|$

## Algèbre de Yokonuma - Hecke de type A

$$q \in \mathbb{C}^*$$

$$Y_{d,n}(q) = \left\langle \begin{array}{l} g_1, \dots, g_{n-1} \\ t_1, \dots, t_n \end{array} \mid \begin{array}{l} g_i g_{i+1} g_i = g_{i+1} g_i g_{i+1}, \quad g_i g_j = g_j g_i \quad \text{if} \quad |i-j| > 1 \\ t_j^d = 1, \quad t_i t_j = t_j t_i, \quad t_j g_i = g_i t_{s(i)} \\ g_i^2 = (q-1) e_i g_i + q, \end{array} \right\rangle$$

où  $e_i := \frac{1}{d} \sum_{s=0}^{d-1} t_i^s t_{i+1}^{d-s}$  est un idempotent.

- $Y_{d,n}(q)$  est un quotient de  $\mathbb{C}[(\mathbb{Z}/d\mathbb{Z}) \wr B_n]$
- $q = 1$  :  $Y_{d,n}(1) \cong \mathbb{C}[G(d,1,n)]$ , où  $G(d,1,n) = (\mathbb{Z}/d\mathbb{Z}) \wr S_n$
- $d = 1$  :  $Y_{1,n}(q) \cong \mathcal{H}_n(q)$
- $\mathcal{H}_n(q)$  est un quotient de  $Y_{d,n}(q)$  ( $t_j \mapsto 1$ )
- $Y_{d,n}(q)$  est un  $\mathbb{C}$ -module libre de rang  $d^n \cdot n! = |G(d,1,n)|$
- $g_i^{-1} = q^{-1} g_i + (q^{-1}-1) e_i \quad \forall i = 1, \dots, n-1$

$$\mathbb{C} = Y_{d,0}(q) \subset Y_{d,1}(q) \subset \dots \subset Y_{d,n}(q) \subset Y_{d,n+1}(q) \subset \dots$$

$$\mathbb{C} = Y_{d,0}(q) \subset Y_{d,1}(q) \subset \cdots \subset Y_{d,n}(q) \subset Y_{d,n+1}(q) \subset \cdots$$

### Théorème (Juyumaya 2004)

Soit  $z \in \mathbb{C}$  et  $(x_0, x_1, \dots, x_{d-1}) \in \mathbb{C}^d$  avec  $x_0 = 1$ . Il existe une unique application linéaire  $\text{tr} = (\text{tr}_n)_{n \in \mathbb{N}}$ ,  $\text{tr}_n : Y_{d,n}(q) \rightarrow \mathbb{C}$ , telle que

- $\text{tr}_n(1) = 1$
- $\text{tr}_n(ab) = \text{tr}_n(ba) \quad \forall a, b \in Y_{d,n}(q)$
- $\text{tr}_n(\alpha g_{n-1}) = z \cdot \text{tr}_{n-1}(\alpha) \quad \forall \alpha \in Y_{d,n-1}(q)$
- $\text{tr}_n(\alpha t_n^m) = x_m \cdot \text{tr}_{n-1}(\alpha) \quad \forall \alpha \in Y_{d,n-1}(q)$

$$\mathbb{C} = Y_{d,0}(q) \subset Y_{d,1}(q) \subset \cdots \subset Y_{d,n}(q) \subset Y_{d,n+1}(q) \subset \cdots$$

### Théorème (Juyumaya 2004)

Soit  $z \in \mathbb{C}$  et  $(x_0, x_1, \dots, x_{d-1}) \in \mathbb{C}^d$  avec  $x_0 = 1$ . Il existe une unique application linéaire  $\text{tr} = (\text{tr}_n)_{n \in \mathbb{N}}$ ,  $\text{tr}_n : Y_{d,n}(q) \rightarrow \mathbb{C}$ , telle que

- $\text{tr}_n(1) = 1$
- $\text{tr}_n(ab) = \text{tr}_n(ba) \quad \forall a, b \in Y_{d,n}(q)$
- $\text{tr}_n(\alpha g_{n-1}) = z \cdot \text{tr}_{n-1}(\alpha) \quad \forall \alpha \in Y_{d,n-1}(q)$
- $\text{tr}_n(\alpha t_n^m) = x_m \cdot \text{tr}_{n-1}(\alpha) \quad \forall \alpha \in Y_{d,n-1}(q)$

$$\begin{array}{ccccccc}
 (\mathbb{Z}/d\mathbb{Z})[B_n] & \hookrightarrow & \mathbb{C}[(\mathbb{Z}/d\mathbb{Z})[B_n]] & \xrightarrow{\text{tr}} & Y_{d,n}(q) & \xrightarrow{\text{tr}} & \mathbb{C} \\
 \sigma_i & \longmapsto & \sigma_i & \longmapsto & g_i & & \\
 t_j & \longmapsto & t_j & \longmapsto & t_j & &
 \end{array}$$

## Invariant de Juyumaya - Lambrapoulou (normalisation de la trace $\text{tr}$ )

$z \neq 0$ ,  $z \neq (q-1)\varepsilon$

$$\mathcal{E} := \text{tr}(e_i) = \frac{1}{d} \sum_{s=0}^{d-1} x_s x_{d-s} \quad \forall i=1, \dots, n-1 \quad \text{avec } x_d = x_0 = 1$$

## Invariant de Juyumaya - Lambrapoulou (normalisation de la trace $\text{tr}$ )

$$\underline{z \neq 0}, \quad \underline{z \neq (q-1)\varepsilon}$$

$$E := \text{tr}(e_i) = \frac{1}{d} \sum_{s=0}^{d-1} x_s x_{d-s} \quad \forall i = 1, \dots, n-1 \quad \text{avec } x_d = x_0 = 1$$

$$\Gamma(\alpha) = \Delta^{n-1} \cdot \omega^{\exp(\alpha)} \cdot \text{tr}(\alpha) \quad , \quad \alpha \in B_n$$

## Invariant de Juyumaya - Lambrapoulou (normalisation de la trace $\text{tr}$ )

$$\underline{z \neq 0}, \quad \underline{z \neq (q-1)\varepsilon}$$

$$\mathcal{E} := \text{tr}(e_i) = \frac{1}{d} \sum_{s=0}^{d-1} x_s x_{d-s} \quad \forall i=1, \dots, n-1 \quad \text{avec } x_d = x_0 = 1$$

$$\Gamma(\alpha) = \Delta^{n-1} \cdot \omega^{\exp(\alpha)} \cdot \text{tr}(\alpha) \quad , \quad \alpha \in B_n$$

$$\Gamma(\alpha) = \Gamma(\alpha \sigma_n) \Rightarrow \Delta = 1/\omega z$$

## Invariant de Juyumaya - Lambrapoulou (normalisation de la trace $\text{tr}$ )

$$\underline{z \neq 0}, \quad \underline{z \neq (q-1)\varepsilon}$$

$$\mathcal{E} := \text{tr}(e_i) = \frac{1}{d} \sum_{s=0}^{d-1} x_s x_{d-s} \quad \forall i=1, \dots, n-1 \quad \text{avec } x_d = x_0 = 1$$

$$\Gamma(\alpha) = \Delta^{n-1} \cdot \omega^{\exp(\alpha)} \cdot \text{tr}(\alpha) \quad , \quad \alpha \in B_n$$

$$\Gamma(\alpha) = \Gamma(\alpha\sigma_n) \Rightarrow \Delta = 1/\omega z$$

$$\Gamma(\alpha\sigma_n) = \Gamma(\alpha\sigma_n^{-1}) \Rightarrow \omega = \dots$$

## Invariant de Juyumaya - Lambrapoulou (normalisation de la trace $\text{tr}$ )

$$\underline{z \neq 0}, \quad \underline{z \neq (q-1)\varepsilon}$$

$$\mathcal{E} := \text{tr}(e_i) = \frac{1}{d} \sum_{s=0}^{d-1} x_s x_{d-s} \quad \forall i=1, \dots, n-1 \quad \text{avec } x_d = x_0 = 1$$

$$\Gamma(\alpha) = \Delta^{n-1} \cdot \omega^{\exp(\alpha)} \cdot \text{tr}(\alpha) \quad , \quad \alpha \in B_n$$

$$\Gamma(\alpha) = \Gamma(\alpha\sigma_n) \Rightarrow \Delta = 1/\omega z$$

$$\Gamma(\alpha\sigma_n) = \Gamma(\alpha\sigma_n^{-1}) \Rightarrow \omega = \dots$$

Rappelons que  $g_n^{-1} = q^{-1}g_n + (q^{-1}-1)e_n$

## Invariant de Juyumaya - Lambrapoulou (normalisation de la trace $\text{tr}$ )

$$\underline{z \neq 0}, \underline{z \neq (q-1)\varepsilon}$$

$$E := \text{tr}(e_i) = \frac{1}{d} \sum_{s=0}^{d-1} x_s x_{d-s} \quad \forall i=1, \dots, n-1 \quad \text{avec } x_d = x_0 = 1$$

$$\Gamma(\alpha) = \Delta^{n-1} \cdot \omega^{\exp(\alpha)} \cdot \text{tr}(\alpha) \quad , \quad \alpha \in B_n$$

$$\Gamma(\alpha) = \Gamma(\alpha\sigma_n) \Rightarrow \Delta = 1/\omega z$$

$$\Gamma(\alpha\sigma_n) = \Gamma(\alpha\sigma_n^{-1}) \Rightarrow \omega = \dots$$

Rappelons que  $g_n^{-1} = q^{-1}g_n + (q^{-1}-1)e_n$

$$\text{tr}(\alpha e_n) = \text{tr}(\alpha) \cdot \text{tr}(e_n) \quad \forall \alpha \in Y_{d,n}(q)$$

Système d'équations pour  $(x_0, x_1, \dots, x_{d-1})$

"E - système"

E-système : Solutions par P. Gérardin     $\# = 2^d - 1$

Solutions du E-système  $\longleftrightarrow$  Sous-ensembles non-vides de  $\mathbb{Z}/d\mathbb{Z}$

$$x_s = (x_0, x_1, \dots, x_{d-1}) \quad \longleftrightarrow \quad S$$

E-système : Solutions par P. Gérardin     $\# = 2^d - 1$

Solutions du E-système  $\longleftrightarrow$  Sous-ensembles non-vides de  $\mathbb{Z}/d\mathbb{Z}$

$$x_s = (x_0, x_1, \dots, x_{d-1}) \quad \longleftrightarrow \quad S$$

$$\varepsilon = \frac{1}{|S|}$$

E-système : Solutions par P. Gérardin     $\# = 2^d - 1$

Solutions du E-système  $\longleftrightarrow$  Sous-ensembles non-vides de  $\mathbb{Z}/d\mathbb{Z}$

$$x_s = (x_0, x_1, \dots, x_{d-1}) \quad \longleftrightarrow \quad S$$

$$\varepsilon = \frac{1}{|S|}$$

$$\omega = \sqrt{\frac{z + (1-q)E}{zq}}$$

E-système : Solutions par P. Gérardin    # =  $2^d - 1$

Solutions du E-système  $\longleftrightarrow$  Sous-ensembles non-vides de  $\mathbb{Z}/d\mathbb{Z}$

$$x_s = (x_0, x_1, \dots, x_{d-1}) \quad \longleftrightarrow \quad S$$

$$\varepsilon = \frac{1}{|S|}$$

$$\omega = \sqrt{\frac{z + (1-q)E}{zq}}$$

$$\hat{\Gamma}_s(\hat{\alpha}) := \Gamma_s(\alpha) = \Delta^{n-1} \cdot \omega^{\exp(\alpha)} \cdot \text{tr}(\alpha) \quad \forall \alpha \in B_n$$

$\hat{\Gamma}_s : \mathcal{L} \rightarrow \mathbb{C}$  est un invariant de noeuds à poids  
Invariant de Juyumaya-Lamropoulou

E-système : Solutions par P. Gérardin    # =  $2^d - 1$

Solutions du E-système  $\longleftrightarrow$  Sous-ensembles non-vides de  $\mathbb{Z}/d\mathbb{Z}$

$$x_s = (x_0, x_1, \dots, x_{d-1}) \quad \longleftrightarrow \quad S$$

$$\varepsilon = \frac{1}{|S|}$$

$$\omega = \sqrt{\frac{z + (1-q)\varepsilon}{zq}}$$

$$\hat{\Gamma}_s(\hat{\alpha}) := \Gamma_s(\alpha) = \Delta^{n-1} \cdot \omega^{\exp(\alpha)} \cdot \text{tr}(\alpha) \quad \forall \alpha \in B_n$$

$\hat{\Gamma}_s : \mathcal{L} \rightarrow \mathbb{C}$  est un invariant de noeuds à poids  
Invariant de Juyumaya-Lampropoulou

$$B_n \subseteq (\mathbb{Z}/d\mathbb{Z})[B_n]$$

$\xrightarrow{\hspace{1cm}}$  Invariant de noeuds classiques

Soit  $S \subseteq \mathbb{Z}/d\mathbb{Z}$ ,  $S \neq \emptyset$  et

$x_S = (x_0, x_1, \dots, x_{d-1})$  la solution correspondante du E-système.

Soit  $S \subseteq \mathbb{Z}/d\mathbb{Z}$ ,  $S \neq \emptyset$  et

$x_S = (x_0, x_1, \dots, x_{d-1})$  la solution correspondante du E-système.

Proposition (C.-Lambropoulou 2013)

Si  $|S| = 1$  ( $\Leftrightarrow \varepsilon = 1$ ), alors

$$\hat{P}(\hat{\alpha}) = \hat{\Gamma}_S(\hat{\alpha}) \quad \forall \alpha \in B_n$$

pour  $\beta = z$ .

Soit  $S \subseteq \mathbb{Z}/d\mathbb{Z}$ ,  $S \neq \emptyset$  et

$x_S = (x_0, x_1, \dots, x_{d-1})$  la solution correspondante du E-système.

Proposition (C.-Lambropoulou 2013)

Si  $|S| = 1$  ( $\Leftrightarrow \varepsilon = 1$ ), alors

$$\hat{P}(\hat{\alpha}) = \hat{\Gamma}_S(\hat{\alpha}) \quad \forall \alpha \in B_n$$

pour  $\zeta = z$ .

Proposition (C.-Chmutov - Jablan - Juyumaya - Karvounis - Lambropoulou 2015)

On a

$$\hat{P}(\hat{\alpha}) = \hat{\Gamma}_S(\hat{\alpha}) \quad \forall \alpha \in B_n \text{ tel que } \hat{\alpha} = \text{noeud}$$

pour  $\zeta = z/E$ .